

Elektrische Eigenschaften

Electrical properties

Höchstzulässige Werte

Maximum rated values

Periodische Vorwärts- und Rückwärts-Spitzenperrspannung	repetitive peak forward off-state and reverse voltages	$t_{vj} = -40^{\circ}\text{C} \dots t_{vj\max}$	V_{DRM}, V_{RRM}	200, 400 v
Vorwärts-Stoßspitzen-sperrspannung	non repetitive peak forward off-state voltage	$t_{vj} = -40^{\circ}\text{C} \dots t_{vj\max}$	$V_{DSM} = V_{DRM}$	600 V
Rückwärts-Stoßspitzen-sperrspannung	non repetitive peak reverse voltage	$t_{vj} = +25^{\circ}\text{C} \dots t_{vj\max}$	$V_{RSM} = V_{RRM}$	+50 V
Durchlaßstrom-Grenzeffektivwert	RMS on-state current average on-state current	$t_c = 85^{\circ}\text{C}$ $t_c = 79^{\circ}\text{C}$	I_{TRMSM} I_{TAVM}	300 A 178 A
Stoßstrom-Grenzwert	surge current	$t_c = 25^{\circ}\text{C}, t_p = 10 \text{ ms}$ $t_{vj} = t_{vj\max}, t_p = 10 \text{ ms}$	I_{TSM}	190 A 2200 A 1900 A
Grenzlastintegral	I^2t -value	$t_{vj} = 25^{\circ}\text{C}, t_p = 10 \text{ ms}$ $t_{vj} = t_{vj\max}, t_p = 10 \text{ ms}$	I^2t	24,2 kA ² s 18 kA ² s
Kritische Stromsteilheit	critical rate of rise of on-state current	$v_D \leq 67\% V_{DRM}, f = 50 \text{ Hz}$	$(di/dt)_{cr}$	300 A/ μ s
Kritische Spannungssteilheit	critical rate of rise of off-state voltage	$i_{GM} = 0,8 \text{ A}, di_G/dt = 0,8 \text{ A}/\mu\text{s}$ $t_{vj} = t_{vj\max}, V_D = 67\% V_{DRM}$	$(dv/dt)_{cr}$	¹⁾ 50 V/ μ s ²⁾ 500 V/ μ s L: 500 V/ μ s M*: 1000 V/ μ s

Charakteristische Werte

Characteristic values

Durchlaßspannung	on-state voltage	$t_{vj} = t_{vj\max}, i_T = 500 \text{ A}$	V_T	max.	1,85 V
Schleusenspannung	threshold voltage	$t_{vj} = t_{vj\max}$	$V_{T(TO)}$		1,02 v
Ersatzwiderstand	slope resistance	$t_{vj} = t_{vj\max}$	r_T		1,55 m Ω
Zündstrom	gate trigger current	$t_{vj} = 25^{\circ}\text{C}, V_D = 6 \text{ V}$	I_{GT}	max.	200 mA
Zündspannung	gate trigger voltage	$t_{vj} = 25^{\circ}\text{C}, V_D = 6 \text{ V}$	V_{GT}	max.	2 v
Nicht zündender Steuerstrom	gate non-trigger current	$t_{vj} = t_{vj\max}, V_D = 6 \text{ V}$	I_{GD}	max.	10 mA
Nicht zündende Steuerspannung	gate non-trigger voltage	$t_{vj} = t_{vj\max}, V_D = 0,5 V_{DRM}$	V_{GD}	max.	0,25 V
Haltestrom	holding current	$t_{vj} = 25^{\circ}\text{C}, V_D = 6 \text{ V}, R_A = 5 \Omega$	I_H	max.	150 mA
Einraststrom	latching current	$t_{vj} = 25^{\circ}\text{C}, V_D = 6 \text{ V}, R_{RK} \geq 10 \Omega$	I_L	max.	750 mA
Vorwärts- u. Rückwärts-Sperrstrom	forward off-state and reverse Currents	$i_{GM} = 0,8 \text{ A}, di_G/dt = 0,8 \text{ A}/\mu\text{s}, t_g = 20 \mu\text{s}$	i_D, I_R	max.	20 mA
Zündverzug	gate controlled delay time	$t_{vj} = t_{vj\max}, V_D = V_{DRM}, V_R = V_{RRM}$	t_{qd}	max.	1,4 μ s
Freiwerdezeit	circuit commutated turn-off time	$t_{vj} = 25^{\circ}\text{C}, i_{GM} = 0,8 \text{ A}, di_G/dt = 0,8 \text{ A}/\mu\text{s}$ siehe Techn. Erl./see Techn. Inf.	t_q	C*:	12 μ s
			D:	max.	15 μ s
			E:	max.	20 μ s

Thermische Eigenschaften

Thermal properties

Innerer Wärmewiderstand für beidseitige Kühlung	thermal resistance, junction to case for two-sided cooling	$\Theta = 180^{\circ} \text{ el, sin}$	R_{thJC}	max.	0,18 °C/W
für anodenseitige Kühlung	for anode-sided cooling	$\Theta = 180^{\circ} \text{ el, sin}$	$R_{thJC(A)}$	max.	0,16 °C/W
für kathodenseitige Kühlung	for cathode-sided cooling	$\Theta = 180^{\circ} \text{ el, sin}$	$R_{thJC(K)}$	max.	0,31 °C/W
Übergangswärmewiderstand	thermal resistance, case to heatsink	beidseitig/two-sided einseitig/one-sided	R_{thCK}	max.	0,29 °C/W
Höchstzul. Sperrschiichttemperatur	max. junction temperature		$t_{vj\max}$		0,38 °C/W
Betriebstemperatur	Operating temperature		$t_{c op}$		140°C
Lagertemperatur	storage temperature		t_{sig}		-40 ... + 140°C

Mechanische Eigenschaften

Mechanical properties

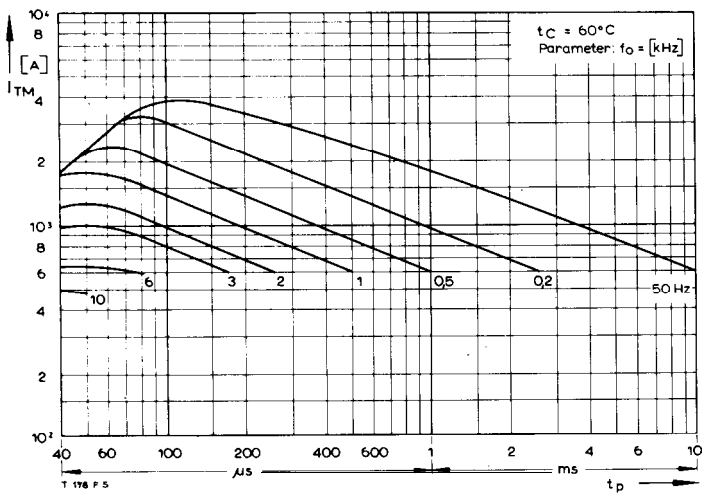
Si-Element mit Druckkontakt	Si-pellet with pressure contact		F	1,5 ... 2,5 kN
Anpreßkraft	Clamping force		G	typ. 70 g
Gewicht	weight			17 mm
Kriechstrecke	Creepage distance			C
Feuchteklaasse	humidity classification	DIN 40040		50 m/s ²
Schwingfestigkeit	Vibration resistance	f = 50 Hz		Seitelpage 154
Maßbild	outline	DIN 41814-151A4		

* Für größere Stückzahlen bitte Liefertermin erfragen/Delivery for larger quantities on request

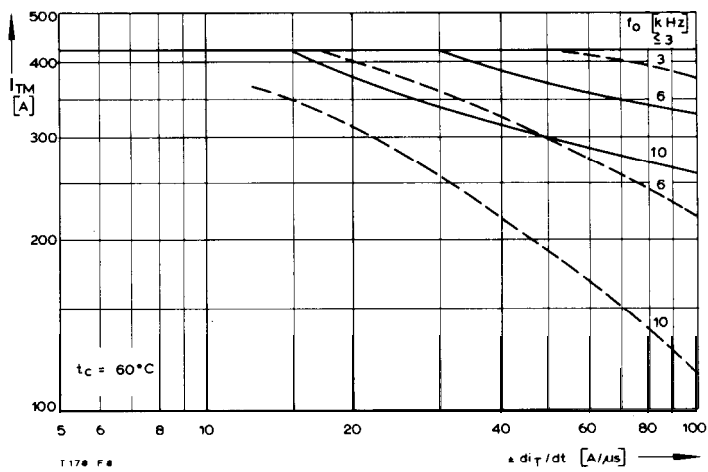
1) Werte nach DIN IEC 747-6 (ohne vorausgehende Kommutierung)/Values to DIN IEC 747-6 (without prior commutation)

2) Unmittelbar nach der Freiwerdezeit, vgl. Meßbedingungen für t_q /Immediately after circuit commutated turn-off time, see Parameters t_q

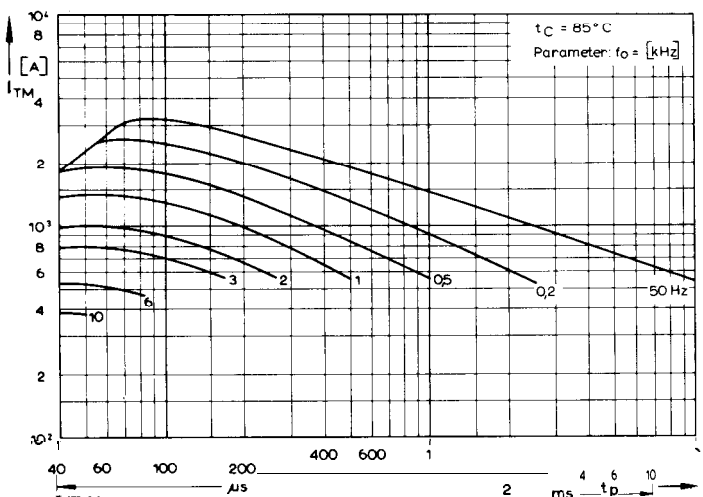
T 178 F



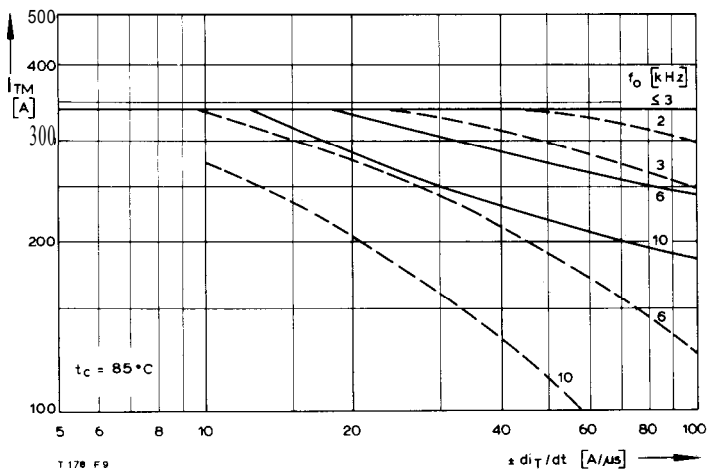
Bild/Fig. 1



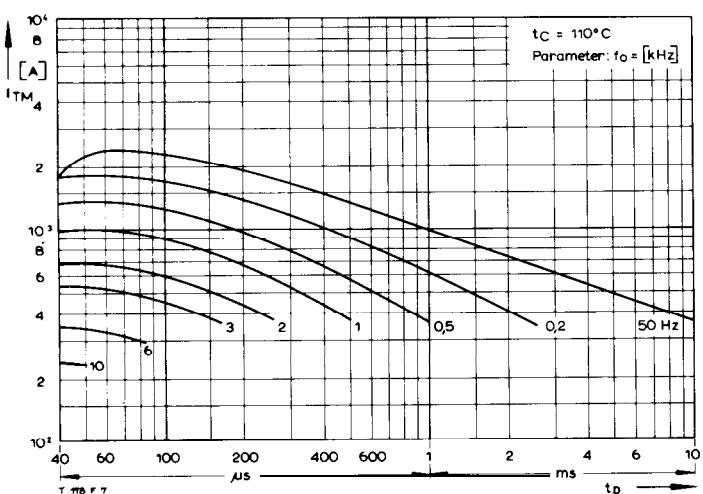
Bild/Fig. 4



Bild/Fig. 2



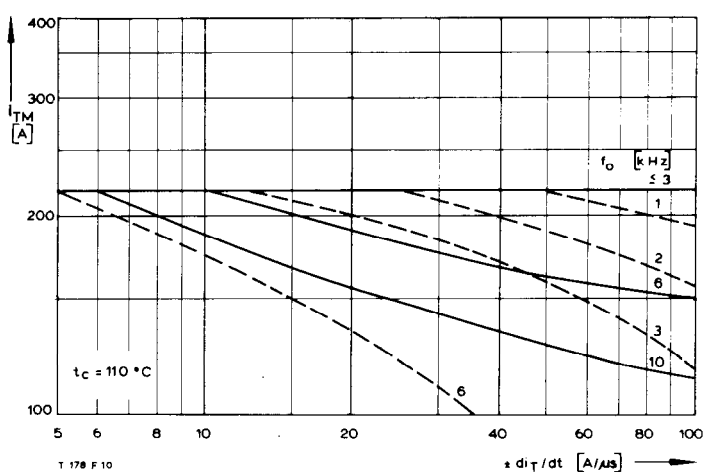
Bild/Fig. 5



Bild/Fig. 3

Bild/Fig. 1, 2, 3
Steuergenerator/pulse generator:
 $i_G = 0.8 \text{ A}$, $di_G/dt = 0.8 \text{ A}/\mu\text{s}$

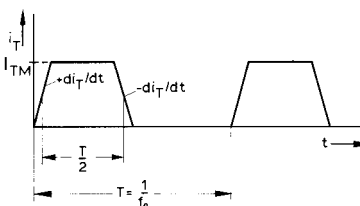
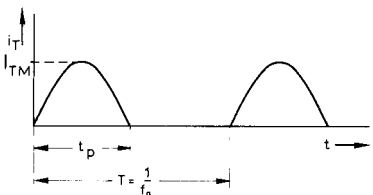
RC-Glied/RC-network:
 $R [\Omega] \geq 0.02 V_{DM} [\text{V}]$
 $C \leq 0.22 \mu\text{F}$
 $V_{DM} \leq 0.67 V_{DRM}$

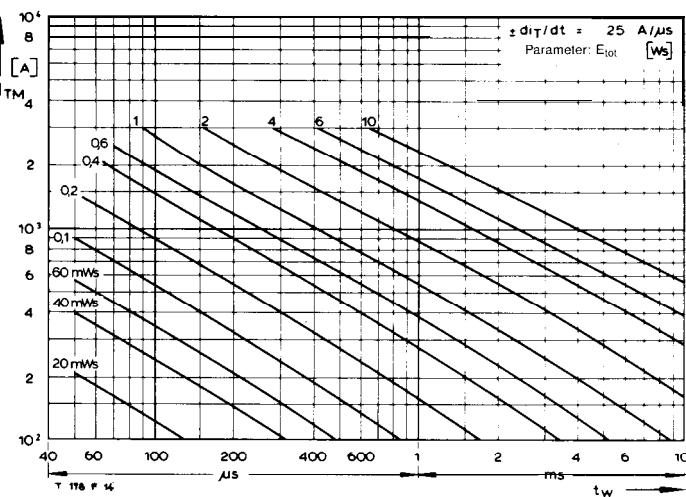


Bild/Fig. 6

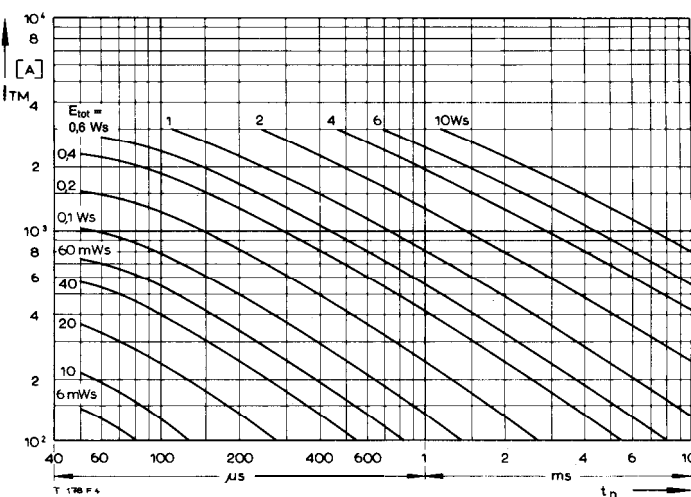
Bild/Fig. 4, 5, 6
Steuergenerator/pulse generator:
 $i_G = 0.8 \text{ A}$, $di_G/dt = 0.8 \text{ A}/\mu\text{s}$

RC-Glied/RC-network:
 $R [\Omega] \geq 0.02 V_{DM} [\text{V}]$
 $C \leq 0.33 \mu\text{F}$
 $V_{DM} \leq 0.67 V_{DRM}$
 $dv_R/dt \leq 400 \text{ V}/\mu\text{s}$
 $V_{RM} \leq 0.67 V_{ARM}$

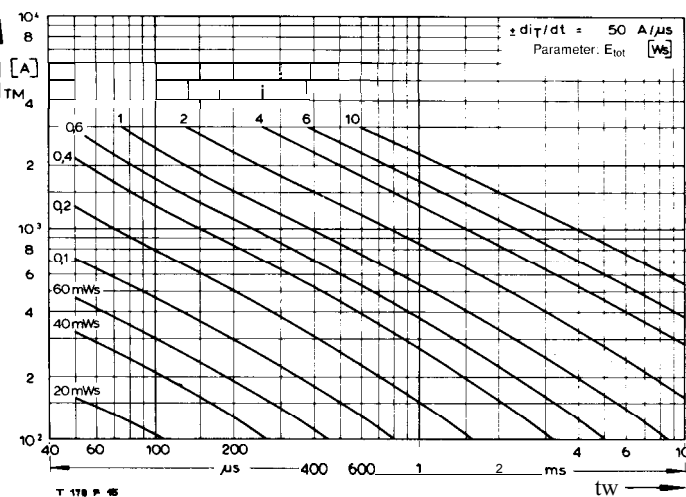




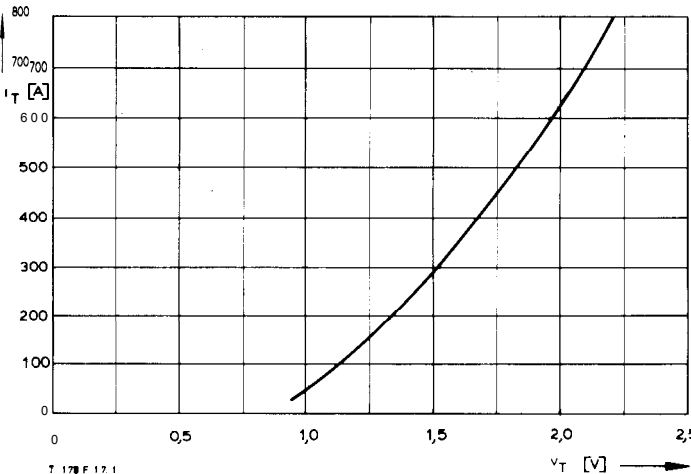
Bild/Fig. 10



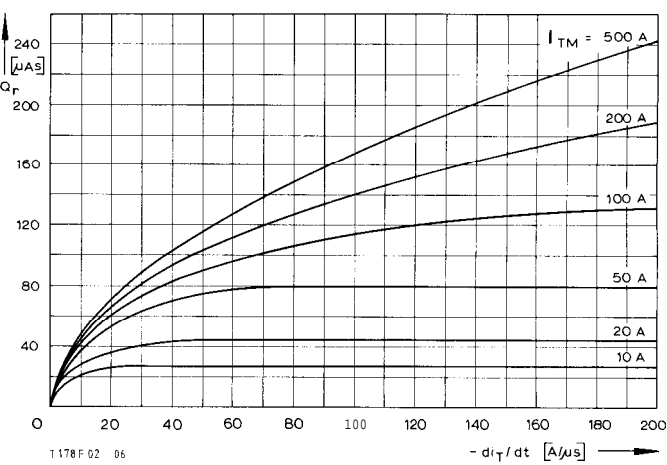
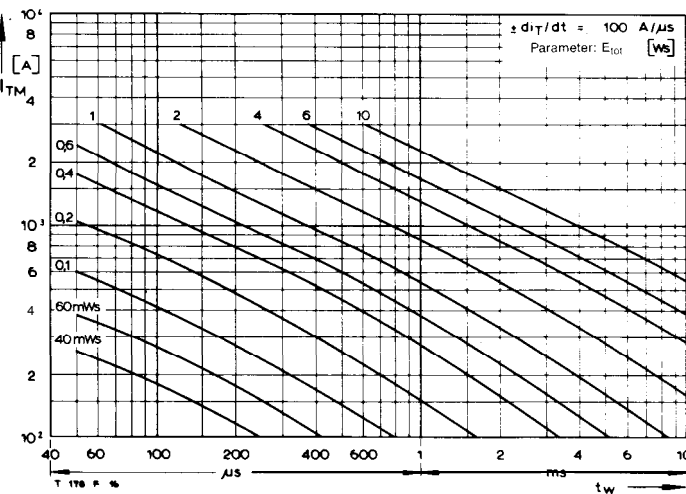
Bild/Fig. 13



Bild/Fig. 11



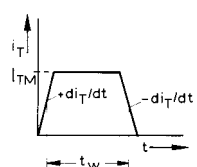
Bild/Fig. 14



Bild/Fig. 12

Bild/Fig. 10, 11, 12
Steuergenerator/pulse generator:
 $I_G = 0.8 \text{ A}$, $di_G/dt = 0.8 \text{ A}/\mu\text{s}$

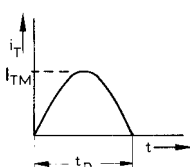
RC-Glied/RC-network:
 $R |\Omega| \geq 0.02 V_{DM} |\text{V}|$
 $C \leq 0.33 \mu\text{F}$
 $V_{DM} \leq 0.67 V_{DRM}$
 $dv_R/dt \leq 400 \text{ V}/\mu\text{s}$
 $V_{RM} \leq 0.67 V_{RRM}$

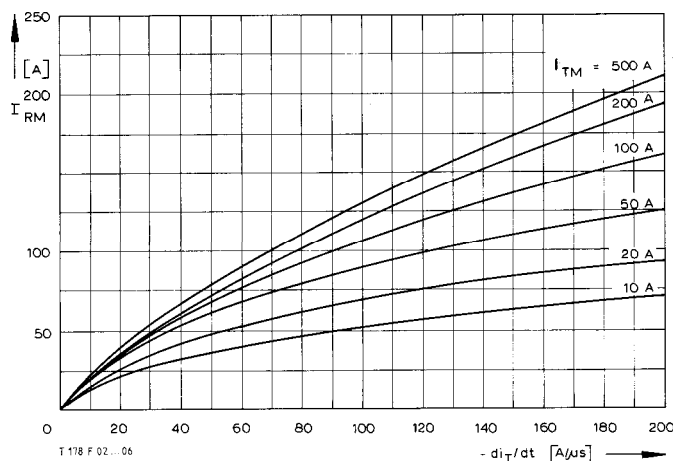


Bild/Fig. 15

(zu Bild/to Fig. 13)
Steuergenerator/pulse generator:
 $I_G = 0.8 \text{ A}$, $di_G/dt = 0.8 \text{ A}/\mu\text{s}$

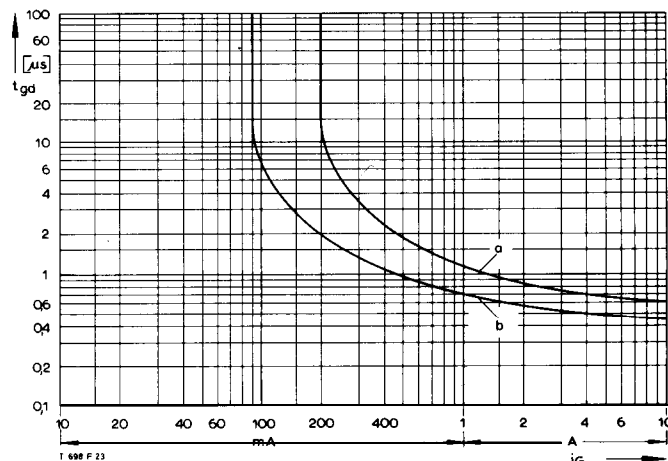
RC-Glied/RC-network:
 $R |\Omega| \geq 0.02 V_{DM} |\text{V}|$
 $C \leq 0.22 \mu\text{F}$





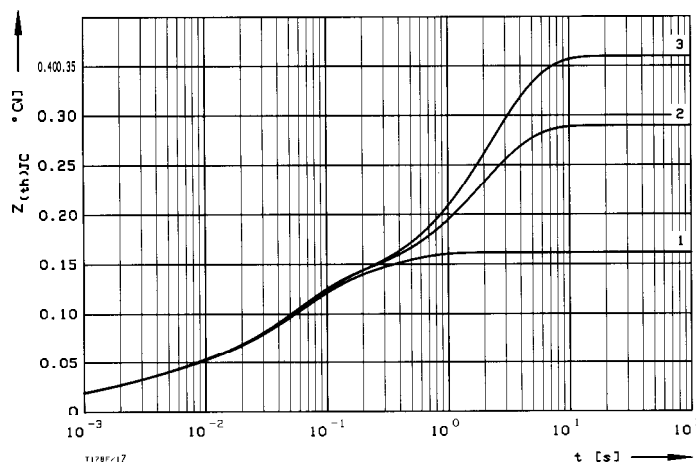
Bild/Fig. 16

Rückstromspitze $I_{RRM} = f(-di/dt)$, $t_{vj} = t_{vj(max)}$, $V_R = 0.5 V_{RRM}$, $V_{RM} = 0.8 V_{RRM}$
Peak reverse recovery current $I_{RRM} = f(-di/dt)$, $t_{vj} = t_{vj(max)}$, $V_R = 0.5 V_{RRM}$, $V_{RM} = 0.8 V_{RRM}$
Parameter: Durchlaßstrom/On-state current I_{DM}



Bild/Fig. 18

Zündverzug/Gate controlled delay time $t_{gd} = f(i_G)$, $t_{vj} = 25^\circ C$, $di_G/dt = i_G/1 \mu s$
a — Maximaler Verlauf/Limiting Characteristic
b — Typischer Verlauf/Typical Characteristic



Bild/Fig. 17

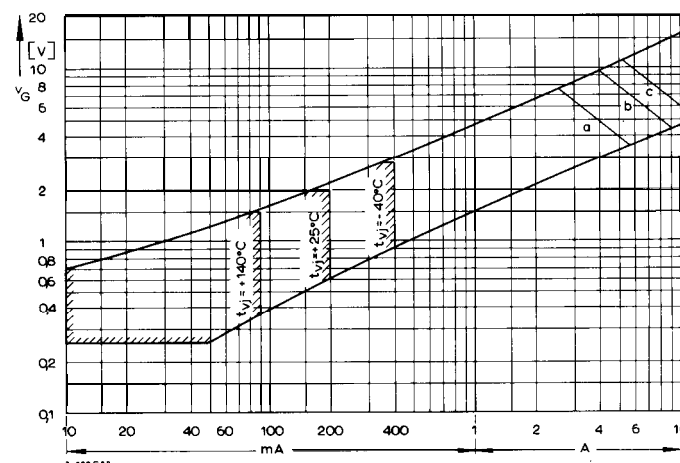
transienter innerer Wärmewiderstand $Z_{thJC} = f(t)$, DC

Transient thermal impedance $Z_{thJC} = f(t)$, DC

1 Beidseitige Kühlung/two-sided cooling

2 Anodenseitige Kühlung/anode side cooling

3 Kathodenseitige Kühlung/cathode side cooling



Bild/Fig. 19

Steuercharakteristik mit Zündbereichen/Gate Characteristic with triggering areas
 $V_G = f(i_G)$, $V_D = 6 V$

Parameter:

Steuerimpulsdauer/Trigger pulse duration t_g [ms]	a	b	c
---	---	---	---

Höchstzulässige Spitzensteuerverlustleistung/ Max. rated peak date power dissipation P_{GM} [W]	10	1	0.5
--	----	---	-----

Höchstzulässige Spitzensteuerverlustleistung/ Max. rated peak date power dissipation P_{GM} [W]	20	40	60
--	----	----	----

Analytische Elemente des transienten Wärmewiderstandes Z_{thJC} für DC
Analytical elements of transient thermal impedance Z_{thJC} for DC

Kühlung cooling	Pos. n	1	2	3	4	5	6	7
beidseitig two-sided	$R_{thn} [\text{°C}/\text{W}]$	0,01143	0,01849	0,0122	0,07982	0,03967		
	$\tau_n [\text{s}]$	0,00051	0,00237	0,00979	0,05366	0,28857		
anodenseitig anode-sided	$R_{thn} [\text{°C}/\text{W}]$	0,01143	0,00532	0,02149	0,0924	0,15935		
	$\tau_n [\text{s}]$	0,00051	0,0011	0,00414	0,05174	1,95143		
kathodenseitig cathode-sided	$R_{thn} [\text{°C}/\text{W}]$	0,01143	0,00532	0,02149	0,08815	0,23361		
	$\tau_n [\text{s}]$	0,00051	0,0011	0,00414	0,05015	2,30535		

Analytische Funktion/analytical function:

$$Z_{thJC} = \sum_{n=1}^{n_{max}} R_{thn} (1 - \exp(-t/\tau_n))$$